

blatt_1_abgabe

October 25, 2018

1 SMD-Übungszettel Nr.1

Abgabe von: Sebastian Pape, Andrej Kusurmann und Steven Becker

1.1 Aufgabe 1

1.1.1 Aufgabenteil a)

```
In [1]: import numpy as np

import matplotlib.pyplot as plt

import scipy

from scipy.optimize import newton, brentq, minimize
```

Definiere die in der Aufgabe gegebenen Funktionen

```
In [2]: def f(x):
        return (x**3 + 1/3) - (x**3 - 1/3)

        def g(x):
            return ( (3 + x**3/3) - (3 - x**3/3) ) / x**3
```

Definiere die exakten Werte f_0 und g_0 der Gleichungen:

```
In [3]: f_0 = 2/3
        g_0 = 2/3
```

Führe den relativen Fehler ein

```
In [4]: def rel_error(x_0, x_num):
        return ( np.abs(x_0 - x_num) / np.abs(x_0) )
```

Lege den Definitionsbereich fest und plote den relativen Fehler

```
In [5]: x = np.logspace(-7,7, 1e6)
```

Ergebnisse für f(x)

```
In [6]: rel_error_array_f = rel_error(f_0, f(x))

# x_values where the relative error is smaller than 1%
x_where_rel_err_lower_1per_f = x[rel_error_array_f <= 0.01]

# Getting the last element of the list because I want to upper limit
print('f: x value where the relative error is 1%:',int(x_where_rel_err_lower_1per_f[-1]))

# x_values where the relative error is one, this equal to f(x) = 0.
x_where_rel_err_is_one_f = x[rel_error_array_f == 1]

# Getting the first element of the list beacause I want the lower limit
print('f: x value where the relative error is 1, this is equal to f(x) = 0:',int(x_where_r
```

f: x value where the relative error is 1%: 41284

f: x value where the relative error is 1, this is equal to f(x) = 0: 165140

Ergebnis für g(x)

```
In [7]: rel_error_array_g = rel_error(g_0, g(x))

# x_values where the relative error is smaller than 1%
x_where_rel_err_lower_1per_g = x[rel_error_array_g <= 0.01]

# Getting the last element of the list because I want to upper limit
print('g: x value where the relative error is 1%:',x_where_rel_err_lower_1per_g[0], '\n')

# x_values where the relative error is one, this equal to f(x) = 0.
x_where_rel_err_is_one_g = x[rel_error_array_g == 1]

# Getting the first element of the list beacause I want the lower limit
print('g: x value where the relative error is 1, this is equal to f(x) = 0:',x_where_r
```

g: x value where the relative error is 1%: 1.0967206986851394e-05

g: x value where the relative error is 1, this is equal to f(x) = 0: 8.733452070893184e-06

1.2 Aufgabenteil b)

Plotte die relativen Fehler und führe zusätzlich noch die Grenzen mit ein.

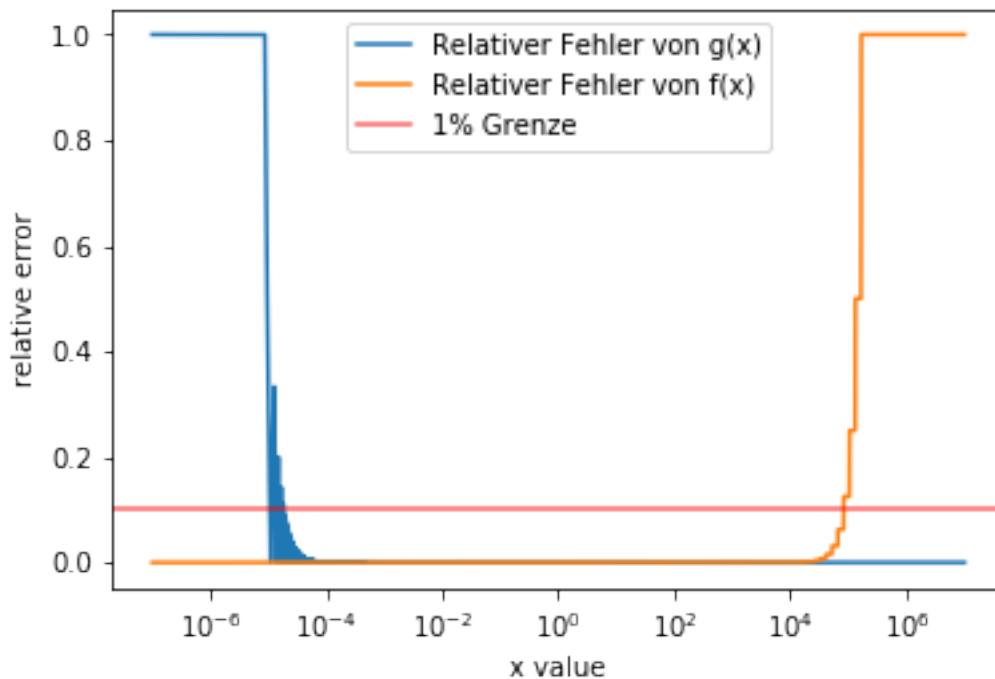
```
In [8]: plt.plot(x,rel_error_array_g, label = 'Relativer Fehler von g(x)')
plt.plot(x,rel_error_array_f, label = 'Relativer Fehler von f(x)')
```

```
plt.axhline(0.1, color = 'r', alpha = 0.6, label = '1% Grenze')

plt.xscale('log')
plt.xlabel('x value')
plt.ylabel('relative error')

plt.legend()

plt.savefig('./results/A1_rel_error.pdf')
plt.show()
```



Was in dem Plot auffällt ist, dass $f(x)$ ungenau für große x ist. Analog ist $g(x)$ ungenau für kleine x .

Erklärung für $f(x)$: Bei großen Werten für x vernachlässigt der Computer die $\frac{1}{3}$ und das Resultat ist $f(x) = 0$.

Erklärung für $g(x)$: Bei sehr kleinen Werten für x kommt es mit Zähler von $g(x)$ zur Auslöschung, da x^3 noch kleiner wird. Weiterhin sind die Fluktuation (blau gefüllter Bereich), damit zu erklären, dass in $g(x)$ durch x geteilt wird und somit sich der Term an einer Polstelle aufhält.

1.3 Aufgabe 2

1.3.1 Aufgabenteil a)

Verwende die Werte aus der Aufgabenstellung

```
In [9]: E = 50 #in units of GeV
        me = 511e-6 # in units of GeV
```

```
In [10]: def beta(energy, mass_of_electron):
          gamma = energy / mass_of_electron

          return np.sqrt( 1 - 1/gamma**2)
```

```
In [11]: def nenner(beta, theta):
          return 1 - beta**2 * np.cos(theta)**2
```

Numerische Instabilität entsteht unter anderem, wenn durch eine kleine Zeit geteilt wird. Aus diesem Grund schaue ich mir den Nenner des differentiellen Wirkungsquerschnitt σ an. Lege den Definitionsbereich für θ fest.

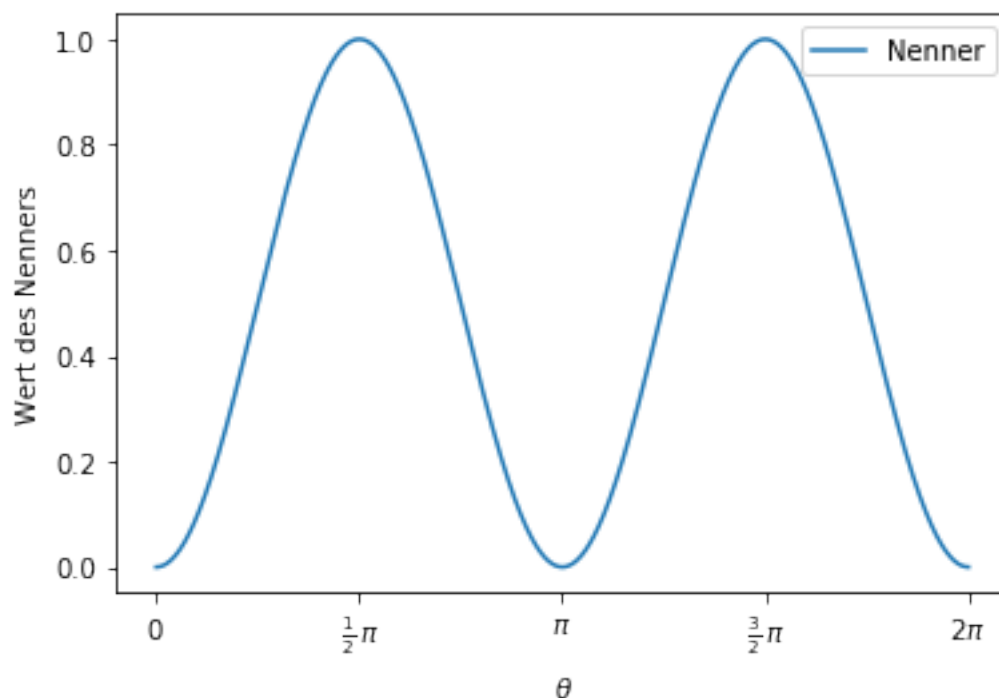
```
In [12]: theta = np.linspace(0, 2*np.pi, 2e6)
```

```
/home/beckstev/.local/anaconda3/lib/python3.7/site-packages/ipykernel_launcher.py:1: Deprecati
    """Entry point for launching an IPython kernel.
```

```
In [13]: plt.plot(theta, nenner(beta(E, me), theta), label = 'Nenner')

          plt.xticks([0, np.pi / 2, np.pi, 3 * np.pi / 2, 2 * np.pi],
                      [r"$0$", r"$\frac{1}{2}\pi$", r"$\pi$", r"$\frac{3}{2}\pi$", r"$2\pi$"],
          plt.ylabel('Wert des Nenners')
          plt.xlabel(r'$\theta$')
          plt.legend()

          plt.savefig('./results/A2_nenner.pdf')
```



In der obigen Grafik ist deutlich zu erkennen dass der Nenner in Umgebung um $\theta = n\pi$, $n \in \mathbb{N}_0$ gegen Null strebt. In der Nähe der Polstellen ist der differentielle Wirkungsquerschnitt σ numerisch instabil. Zusätzlich findet im Nenner eine Subtraktion gleich großer Zahlen statt.

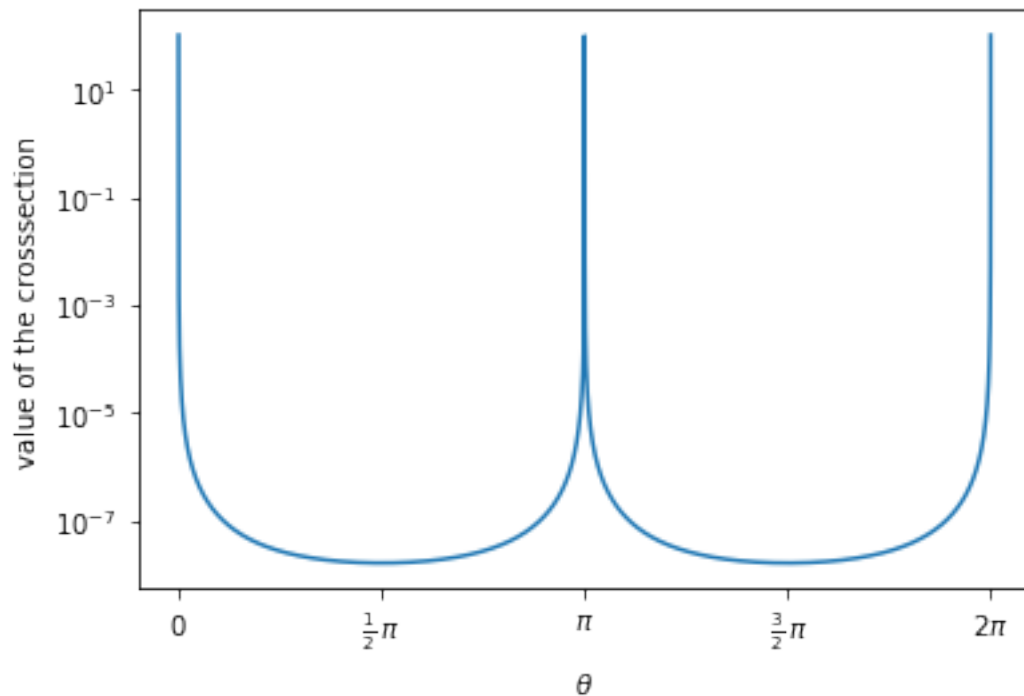
```
In [14]: def differential_crosssection(energy, beta, theta):
        alpha = 1/137
        s = 4*energy**2

        return alpha**2 / s * ( (2 + np.sin(theta)**2 ) / ( 1 - beta**2 * np.cos(theta)**2 ) )

In [15]: plt.plot(theta, differential_crosssection(E, beta(E, me), theta))

plt.xticks([0, np.pi / 2, np.pi, 3 * np.pi / 2, 2 * np.pi],
           [r"$0$", r"$\frac{1}{2}\pi$", r"$\pi$", r"$\frac{3}{2}\pi$", r"$2\pi$"])
plt.xlabel(r'$\theta$')
plt.ylabel('value of the crosssection')
plt.yscale('log')

plt.savefig('./results/A2_plot_crosssection.pdf')
```



In der Grafik oben erkennt man die Auswirkung der Polstellen sehr gut.

1.3.2 Aufgabenteil b)

Ziel ist es den Nenner so umzuformulieren, das dieser numerisch stabiler ist. Verwende dazu

$$\begin{aligned}\text{Nenner} &= 1 - \beta^2 \cos^2(\theta) \\ \text{mit} \\ \cos^2(\theta) &= 1 - \sin^2(\theta) \\ \beta^2 &= 1 - \frac{1}{\gamma^2} \\ \text{folgt} \\ \text{Nenner} &= 1 - \left(1 - \frac{1}{\gamma^2}\right) (1 - \sin^2(\theta)) \\ &= \sin^2(\theta) + \frac{1}{\gamma^2} - \frac{1}{\gamma^2} \sin^2(\theta) \\ &= \sin^2(\theta) + \frac{1}{\gamma^2} \cos^2(\theta)\end{aligned}$$

Durch den Faktor $\frac{1}{\gamma^2}$ wird aber immer noch bei $\theta = 0, \pi, \dots$ durch eine sehr kleine Zahl geteilt. Aus diesem Grund erweitere ich σ mit γ

$$\begin{aligned}\sigma &\propto \frac{2 + \sin^2(\theta)}{\sin^2(\theta) + \frac{1}{\gamma^2} \cos^2(\theta)} \\ \Leftrightarrow &= \frac{(2 + \sin^2(\theta)) \gamma^2}{\gamma^2 \sin^2(\theta) + \cos^2(\theta)}\end{aligned}$$

Im Nenner findet nun somit keine Subtraktion gleich großer Zahlen statt.

Definiere den *neuen* Wirkungsquerschnitt in python.

```
In [16]: def new_differential_crosssection(energy, electron_mass, theta):
    alpha = 1 / 137
    s = 4*energy**2
    gamma = energy / electron_mass

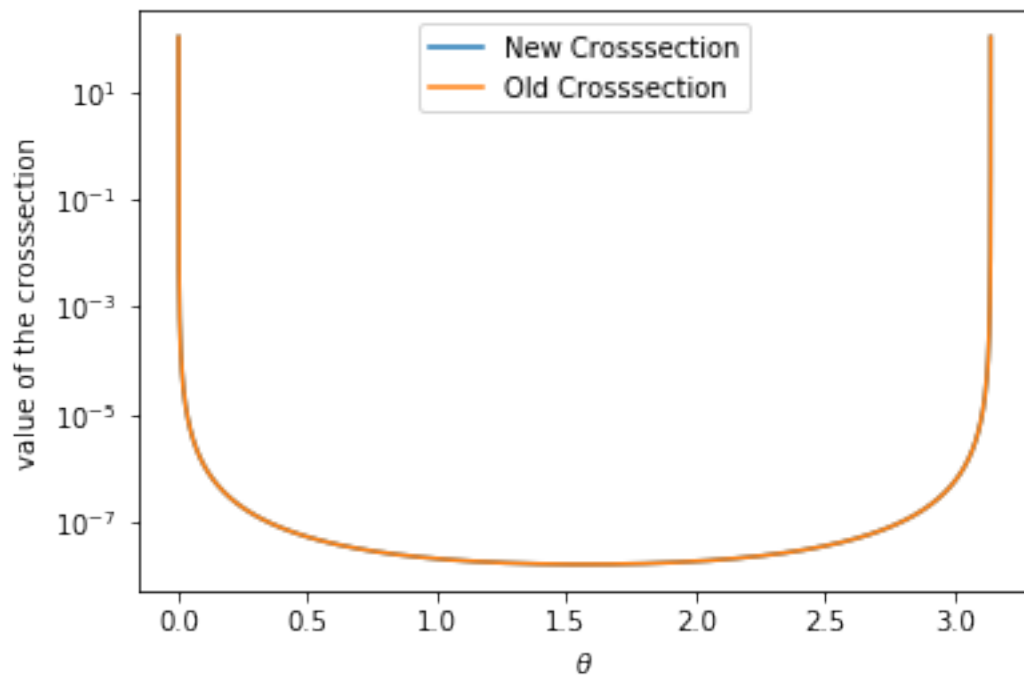
    return alpha**2 / s * ( gamma**2 * (2 + np.sin(theta)**2) ) / ( gamma**2 * np.sin(theta)**2 + 1 )

In [17]: theta = np.linspace(0, np.pi, 1e6)

plt.plot(theta, new_differential_crosssection(E, me, theta), label = 'New Crosssection')
plt.plot(theta, differential_crosssection(E, beta(E, me), theta), label = 'Old Crosssection')

plt.xlabel(r'$\theta$')
plt.ylabel('value of the crosssection')
plt.legend()
plt.yscale('log')
plt.savefig('./results/A2_differenz.pdf')
```

```
/home/beckstev/.local/anaconda3/lib/python3.7/site-packages/ipykernel_launcher.py:1: Deprecati
"""Entry point for launching an IPython kernel.
```



Auf den ersten Blick zeigen sich keine numerische Effekte.
Erst bei einer sehr genauen Betrachtung der Maxima sind numerische Effekte erkennbar.

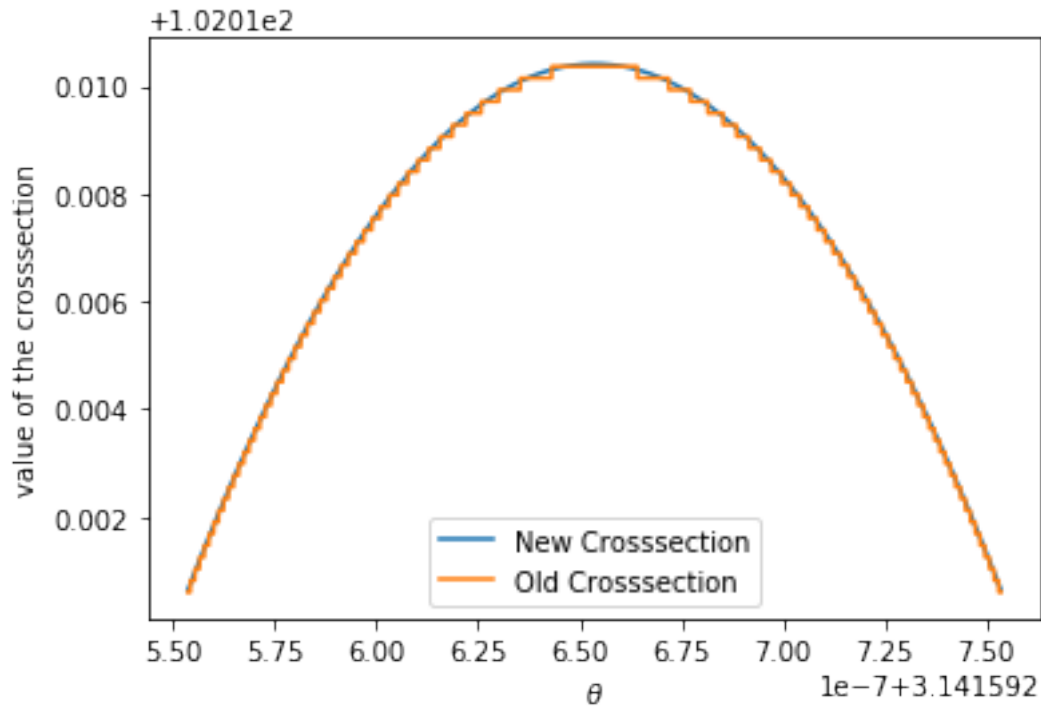
```
In [18]: theta = np.linspace(np.pi-1e-7, np.pi+1e-7, 1e6)

plt.plot(theta,new_differential_crosssection(E, me, theta), label = 'New Crosssection')
plt.plot(theta, differential_crosssection(E, beta(E, me), theta), label = 'Old Crosssection')

plt.xlabel(r'$\theta$')
plt.ylabel('value of the crosssection')
plt.legend()

plt.savefig('./results/A2_differenz.pdf')
```

```
/home/beckstev/.local/anaconda3/lib/python3.7/site-packages/ipykernel_launcher.py:1: Deprecati
"""Entry point for launching an IPython kernel.
```



Ergebnis Deutlich zu erkennen sind numerische Effekte, Stufen, bei dem alten Wirkungsquerschnitt. Erst die Stabilisierung von γ führt zu einer glatten Kurve.

1.3.3 Aufgabenteil c)

Die Konditionszahl einer Funktion $f(x)$ ist definiert als:

$$K(x) = \left| x \frac{f'(x)}{f(x)} \right|$$

Aus der Quotientenregel folgt für σ' :

$$\sigma' = \frac{\alpha^2}{s} \frac{2 \sin(\theta) \cos(\theta) (-3\beta^2 + 1)}{(1 - \beta^2 \cos^2(\theta))^2}$$

```
In [19]: def derivation_differential_crosssection(energy, beta, theta):
          alpha = 1/137
          s = 4 * energy**2

          return alpha**2 / s * ( (2*np.sin(theta)*np.cos(theta) * (-3*beta**2+1) )/( (1-b

In [20]: theta = np.linspace(0,2*np.pi, 5e6)
```



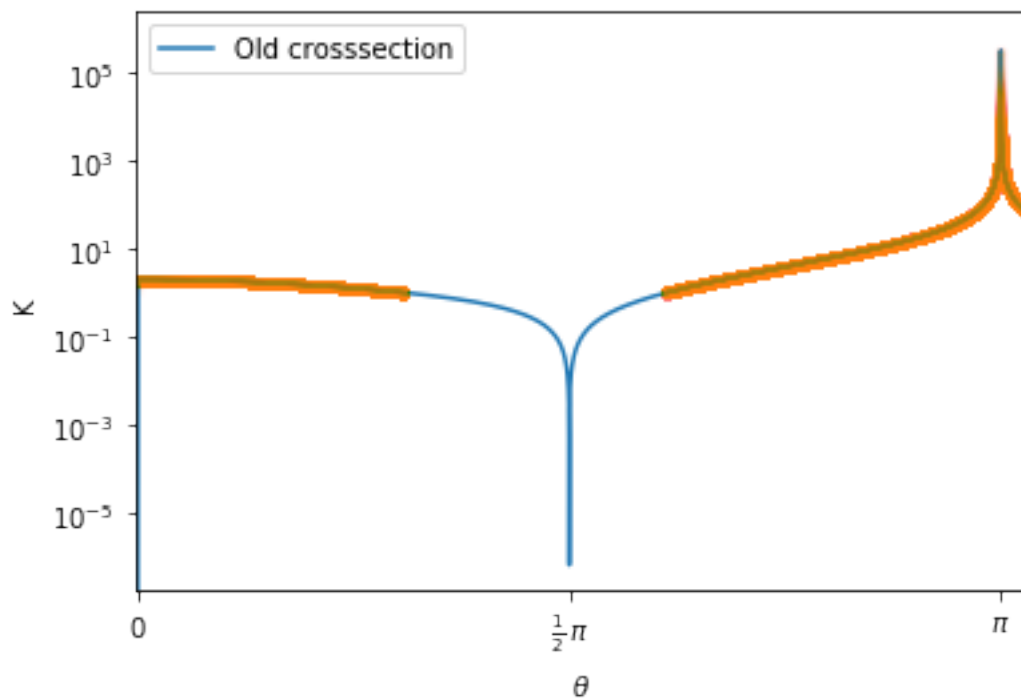
```
/home/beckstev/.local/anaconda3/lib/python3.7/site-packages/ipykernel_launcher.py:1: Deprecati
    """Entry point for launching an IPython kernel.
```

```
In [21]: K = np.abs(theta * derivation_differential_crosssection(E, beta(E,me), theta)/differen
```

```
plt.plot(theta,K, label = 'Old crosssection' )
plt.plot(theta[K>=1][::2], K[K>=1][::2], '.', alpha=0.01)

plt.xticks([0, np.pi / 2, np.pi, 3 * np.pi / 2, 2 * np.pi],
            [r"$0$", r"$\frac{1}{2}\pi$", r"$\pi$", r"$\frac{3}{2}\pi$", r"$2\pi$"])
plt.xlim(-0.01,np.pi+0.1)
plt.xlabel(r'$\theta$')
plt.ylabel('K')
plt.yscale('log')
plt.legend()

plt.savefig('./results/A2_konditionierung.pdf')
```



Der obige Plot zeigt in orange die Bereiche die eine schlechte Konditionierung respektive $K > 1$ besitzen. Der blaue Bereich ist gut Konditioniert $K \leq 1$.

1.4 Aufgabe 3

Bestimme zunächst die Normierung N .

$$\begin{aligned} 1 &= \int_0^\infty N \exp\left(-\frac{mv^2}{2k_B T}\right) 4\pi v^2 dv \\ &= 4N\pi \int_0^\infty (\exp(-\Gamma v^2) v) v dv \end{aligned}$$

Partielle Integration

$$\begin{aligned} &= 4N\pi \left(\left[-\frac{1}{2\Gamma} \exp(-\Gamma v^2) v \right]_0^\infty + \frac{1}{2\Gamma} \int_0^\infty \exp(-\Gamma v^2) dv \right) \\ &= N \sqrt{\frac{\pi^3}{\Gamma^3}} \\ \Leftrightarrow N &= \left(\frac{m}{2k_B T \pi} \right)^{\frac{3}{2}} \end{aligned}$$

1.4.1 Aufgabenteil a)

Die wahrscheinlichste Geschwindigkeit v_m . Der Wert v_m kann berechnet werden, indem der Hochpunkt der Verteilung $f(v)$ gesucht wird:

$$f'(v_m) \stackrel{!}{=} 0$$

Dazu die Ableitung der Verteilung:

$$f'(v) = 8\pi N \exp(-\Gamma v^2) v (1 - v^2 \Gamma)$$

Daraus folgt mit der obigen Extremalbedingung für v_m :

$$v_m = \pm \sqrt{\frac{1}{\Gamma}} = \pm \sqrt{\frac{2k_B T}{m}}$$

Der Definitionsbereich der Geschwindigkeit ist $v \in \mathbb{R}^+$, deshalb wird nur die positive Lösung betrachtet.

1.4.2 Aufgabenteil b)

Der Mittelwert $\langle v \rangle$ Der Mittelwert einer Verteilung kann im allgemein über die erste Kommulante bestimmt werden:

$$\begin{aligned} \langle v \rangle &= \int v f(v) dv \\ \langle v \rangle &= 4\pi N \int_0^\infty v^3 \exp(-\Gamma v^2) dv \\ &= 4\pi N \left(\left[-\frac{v^2}{2\Gamma} \exp(-\Gamma v^2) \right]_0^\infty + \frac{1}{\Gamma} \int_0^\infty v \exp(-\Gamma v^2) dv \right) \\ &= 4\pi N \left[-\frac{1}{2\Gamma^2} \exp(-\Gamma v^2) \right]_0^\infty \\ &= \frac{2\pi N}{\Gamma^2} = \frac{2}{\sqrt{\pi}} v_m \end{aligned}$$

1.4.3 Aufgabenteil c)

Bestimmung des Medians $v_{0,5}$. Berechnet werden kann der Median wie folgt:

$$\int_0^{v_{0,5}} f(v) dv = \frac{1}{2}$$

Die Lösung der folgenden Aufgabe orientiert sich an diesem [Paper](#).

$$\begin{aligned} \frac{1}{2} &= \int_0^{v_{0,5}} 4\pi N v^2 \exp(-v^2/v_m) dv \\ &= \frac{4}{\sqrt{\pi} v_m} \int_0^{v_{0,5}} \frac{v^2}{v_m^2} \exp\left(-\frac{v^2}{v_m^2}\right) dv \\ \text{Substitution: } s &:= \frac{v}{v_m}, \quad v_m ds = dv \\ \frac{1}{2} &= \frac{4}{\sqrt{\pi}} \int_0^{s_{0,5}} s^2 \exp(-s^2) ds \\ \Leftrightarrow \quad \frac{\sqrt{\pi}}{8} &= \left[\frac{-s}{2} \exp(-s^2) \right]_0^{s_{0,5}} + \frac{1}{2} \int_0^{s_{0,5}} \exp(-s^2) ds \\ &= \frac{-s_{0,5}}{2} \exp(-s_{0,5}^2) + \frac{\sqrt{\pi}}{4} \operatorname{erf}(s_{0,5}) \\ \Rightarrow \quad g(s_{0,5}) &:= \operatorname{erf}(s_{0,5}) - \frac{2}{\sqrt{\pi}} s_{0,5} \exp(-s_{0,5}^2) - \frac{1}{2} = 0 \end{aligned}$$

Bestimme numerisch die Nullstelle der Funktion $g(s_{0,5})$.

```
In [22]: def function(s):
        return scipy.special.erf(s) - 2/np.sqrt(np.pi) * s * np.exp(-s**2) - 1/2

        nullstelle = newton(function,1)

        print('Die Nullstelle der Funktion g liegt bei:', nullstelle)
```

Die Nullstelle der Funktion g liegt bei: 1.0876520317581668

Mit Hilfe der Nullstelle kann der Median allgemein über die Relation

$$\begin{aligned} s_{0,5} &= \frac{v_{0,5}}{v_m} \\ \Leftrightarrow \quad v_{0,5} &= s_{0,5} v_m \approx 1,088 v_m \end{aligned}$$

1.4.4 Aufgabenteil d.)

Bestimmen von v_{FWHM} .

$$\begin{aligned} \frac{f(v_m)}{2} &= f(v_{\text{FWHM}}) \\ \Leftrightarrow \quad 0 &= 2 \left(\frac{v_{\text{FWHM}}}{v_m} \right)^2 \exp\left(-\left(\frac{v_{\text{FWHM}}}{v_m}\right)^2\right) - \frac{1}{e} \end{aligned}$$

Substituiere wie in Aufgabenteil c), wie folgt: $u := \frac{v_{FWHM}}{v_m}$ und erhalte damit:

$$2u^2 \exp(-u^2) - \frac{1}{e} = 0$$

Numerisch kann die Nullstelle durch das Newtonverfahren bestimmt werden. Die halbe Höhe der Verteilung wird zweimal erreicht, weshalb $v_{FWHM,1}$ und $v_{FWHM,2}$ gesucht werden.

```
In [23]: # u = v_FWHM / v_m
def f_newton(u):
    return 2 * u**2 * np.exp(-u**2) - 1 / np.e

v_FWHM_1 = brentq(f_newton, 0, 1)
v_FWHM_2 = brentq(f_newton, 1, 2)

print(f"v_FWHM_1 / v_m = {v_FWHM_1}")
print(f"v_FWHM_2 / v_m = {v_FWHM_2}")

v_FWHM_1 / v_m = 0.48162324797141126
v_FWHM_2 / v_m = 1.6365656082224955
```

$$v_{FWHM,1} \approx 0,48 v_m$$

$$v_{FWHM,2} \approx 1,64 v_m$$

1.4.5 Aufgabenteil e.)

Bestimmen der Standardabweichung σ .

$$\sigma^2 = \int_0^\infty (v - \bar{v})^2 \cdot f(v) dv$$

$$\Rightarrow \sigma^2 = \int_0^\infty \frac{4}{\sqrt{\pi}} (v^2 - 2\bar{v}v + \bar{v}) \cdot \frac{v^2}{v_m^3} \exp\left(-\left(\frac{v^2}{v_m}\right)^2\right) dv$$

$$1.) \int_0^\infty v^2 \cdot f(v) dv = \frac{3v_m^2}{2} \int_0^\infty f(v) dv = \frac{3v_m^2}{2}$$

$$2.) \int_0^\infty -2\bar{v}v \cdot f(v) dv = -2\bar{v}^2 = -\frac{4v_m^2}{\pi}$$

$$3.) \int_0^\infty \bar{v}^2 \cdot f(v) dv = \bar{v}^2 = \frac{2v_m^2}{\pi}$$

$$\Rightarrow \sigma = \sqrt{v_m^2 \left(\frac{3}{2} - \frac{4}{\pi}\right)} = v_m \sqrt{\left(\frac{3}{2} - \frac{4}{\pi}\right)}$$

1.5 Aufgabe 4

1.5.1 Aufgabenteil a.)

$$P(W_{\text{rot}} + W_{\text{blau}} = 9) = P(W_{\text{rot}} = 6 \mid W_{\text{blau}} = 3) + P(W_{\text{rot}} = 3 \mid W_{\text{blau}} = 6) + P(W_{\text{rot}} = 4 \mid W_{\text{blau}} = 5) + P(W_{\text{rot}} = 5 \mid W_{\text{blau}} = 4) = \frac{1}{9}$$

1.5.2 Aufgabenteil b.)

$$P(W_{\text{rot}} + W_{\text{blau}} \geq 9) = P(W_{\text{blau}} \geq 6 \mid W_{\text{rot}} = 3) + P(W_{\text{blau}} \geq 5 \mid W_{\text{rot}} = 4) + P(W_{\text{blau}} \geq 4 \mid W_{\text{rot}} = 5) + P(W_{\text{blau}} \geq 3 \mid W_{\text{rot}} = 6) = \frac{5}{18}$$

1.5.3 Aufgabenteil c.)

$$P(W_{\text{rot}} = 4 \mid W_{\text{blau}} = 5) + P(W_{\text{rot}} = 5 \mid W_{\text{blau}} = 4) = \frac{2}{36} = \frac{1}{18}$$

1.5.4 Aufgabenteil d.)

$$P(W_{\text{rot}} = 4 \wedge W_{\text{blau}} = 5) = \frac{1}{36}$$

1.5.5 Aufgabenteil e.)

$$P(W_{\text{blau}} = 5 \mid W_{\text{rot}} = 4) = \frac{1}{6}$$

1.5.6 Aufgabenteil f.)

$$P(W_{\text{rot}} + W_{\text{blau}} \geq 9 \mid W_{\text{rot}} = 4) = P(W_{\text{blau}} = 5) + P(W_{\text{blau}} = 6) = \frac{1}{3}$$

1.5.7 Aufgabenteil g.)

$$P(W_{\text{blau}} = 5 \mid W_{\text{rot}} = 4) = \frac{1}{6}$$

In []: